

受容体を介して反応するが、この結果は、他の化合物による反応がレチノイン酸受容体を介していない可能性を示唆している。

図 13 には、化合物の投与により発現量の変化した遺伝子を発現変化の大きい遺伝子からリストアップした。ここでは、ICI により発現変化をするものを中心に入し、ICI 以外の RA、DES、Carbaryl、Permethrin の化合物により発現変化をする遺伝子を併記した。また、各化合物における遺伝子発現のクラスタリング解析を行ったところ、ICI と Carbaryl は、類似した発現パターンを示すことが明らかとなり、DES および RA のパターンとは異なることが示された(図 14)。

プロテオーム解析

上記影響のあった DES, ICI, RA, Carbaryl 曝露サンプルの核抽出液を調整し、2 次元電気泳動により DMSO 処理サンプルとの比較から核内で特異的に変動するタンパクのスポット解析を行った。その結果、陽性対象として使用した RA ならびに DES でコンテンツの変動するスポットは複数見いだされたが(図 16、図 17)、対照群(DMSO)

と比較して明らかに特異的に発現または消失するスポットは見いだされなかつた(図 15)。この原因として、使用した核抽出液の精度が悪く、依然サイトゾルのコンタミネーションを含んでいることが考えられた。この点を改良するためには、Rcho-1 細胞からの核抽出液回収に関して独自のプロトコールを確立する必要があろうと思われた。

一方、ICI はエストロゲンのピュアアンタゴニストであり、ER の発現していない Rcho-1 細胞では何らの反応性も示さないことが期待されたが、初年度のレポータージーンアッセイの結果、分化を抑制する作用があることがわかった。この ICI 処理による核抽出液のスポット解析では、RA や DES に比べ数多くのコンテンツの変動するスポットが見いだされた(図 18)。また、逆に分化を促進することがレポータージーンアッセイで明らかとなった Carbaryl でもいくつかの変動するスポットが見いだされた(図 19)。Carbaryl はヒト乳腺ガン細胞でエストロゲン作用を抑制することが知られている(Klotz *et al.*, 1997)。Rcho-1 細胞で分化の促進効果が見られたことは、この化合物の ER

以外の標的が存在することを示唆している。また、Carbaryl は薬物代謝酵素第 1 相酵素のシトクローム P450 1A1 (CYP1A1) の誘導を促進することが知られている (Denison *et al.*, 1998)。CYP1A1 の誘導は転写因子であるアリールハイドロカーボン受容体 (AhR) との相互作用をトリガーに生じるが、Carbaryl の標的分子はこのような核内受容体である可能性が高い。そこで、Carbaryl 处理による核内コンテンツの上昇するスポット 4 種(図 19)を LC-ESI-MS/MS 解析した。その結果、Nuclear RNA helicase ファミリーの内まだ機能の明らかでない Nuclear RNA helicase, DECD variant of DEAD box family (Benbank accession#: BC086328) (図 20、図 21) ならびに Neuronal differentiation related gene (Benbank accession #: NM_139333) が核内分布を示す遺伝子として同定された。他の 2 種は Tubulin ファミリー (Tubulin alpha 1) であった。このチューブリンのコンタミネーションは、metaphase の Rcho-1 の分裂装置由来と考えられる。ラットの Nuclear RNA helicase, DECD variant of DEAD box family

は Strausberg らにより報告された NIH の哺乳類ゲノムコレクション (MGC) における完全長 cDNA サンプル内で報告された機能未知のタンパクである (Strausberg *et al.*, 2002)。Nuclear RNA helicase は、転写後調節のみならず転写自体にも作用を持つ核内分子としてその多機能性が論じられている (Bleoo *et al.*, 2001; Chen *et al.*, 2002)。今回我々が発見した Rcho-1 細胞における Carbaryl によるこのタンパクの変動は細胞の分化においてこのタンパクが何らかの作用を持つことを意味しているかもしれない。Neuronal differentiation related gene に関しては何ら機能が報告されていない。今回、我々は Rcho-1 細胞の分化を促進する化合物として Carbaryl を用いたプロテオーム解析を行ったが、解析したスポット数に限界があり、期待された核内移行性のオーファン受容体あるいは AhR 等は見いだされなかった。しかし、検出された機能未知の 2 種のタンパクはともに細胞の分化や転写に何らかの機能を持つことが予想されるタンパクで今後のその相互作用分子を Two-hybrid 法などにより解析することが重要と考えられる。

まとめ

本研究課題においては、依然内因性リガンド未知のオーファン受容体である ERR β の生理作用部位として確認された胎盤由来細胞である Rcho-1 細胞を用いて、未知の生理活性物質ならびに新規受容体の単離を試みるべく、スクリーニングシステムのためのレポータージーンアッセイ系 (P450scc-Luc) を確立した。このシステムは迅速に化合物の作用をスクリーニングできることが確認された。また、使用した活性を持つ化合物 (RA, DES, ICI, Carbaryl) を用いて、遺伝子発現プロファイルならびに核内でコンテンツの変動するタンパクのプロテオーム解析を実施した。特にその作用部位が不明である Carbaryl を用いて、分化促進に関連すると考えられる核内因子の同定を実施したところ、Nuclear RNA helicase ファミリーなどが検出された。Carbaryl は最も分化促進効果をもつ化合物であったが、この化合物暴露により Nuclear RNA helicase ファミリーがなぜ核内コンテンツを増加させたのか、Two-hybrid 法などによるスクリ

ーニングで共役因子を同定する必要がある。新規受容体の分離には今後さらにアッセイ系の改変が必要であると思われる。

D. 結論

本研究では、エストロゲン受容体 (ER α , ER β) を発現していない胎盤巨細胞の幹細胞である Rcho-1 細胞を用いた新規作用を有する化合物のスクリーニングシステムの構築を行った。構築したレポータージーンアッセイ系 (P450scc-Luc) により、Rcho-1 細胞の分化を抑制あるいは促進する作用のある化合物をスクリーニングすることが可能であることがわかった。

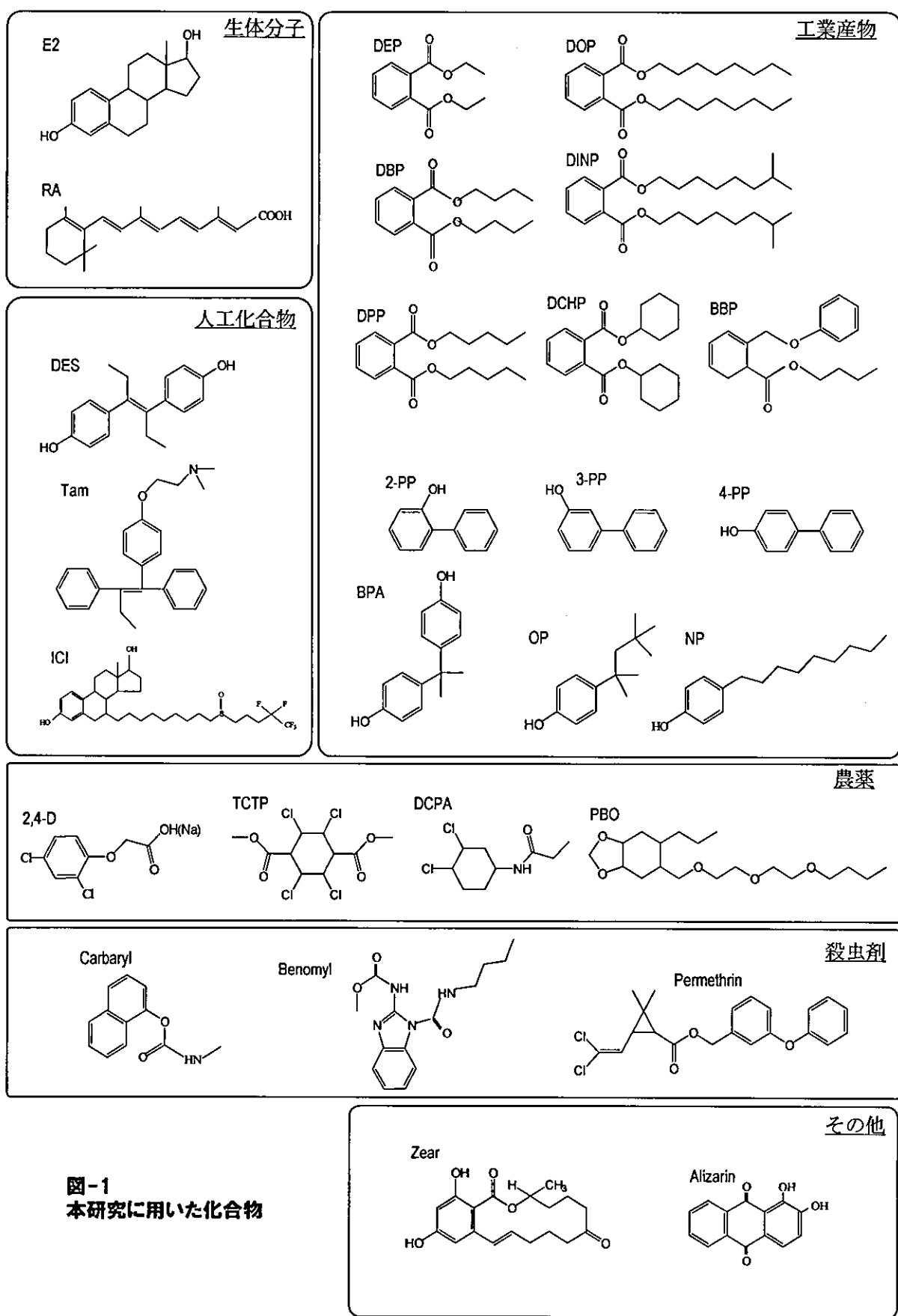


図-1
本研究に用いた化合物

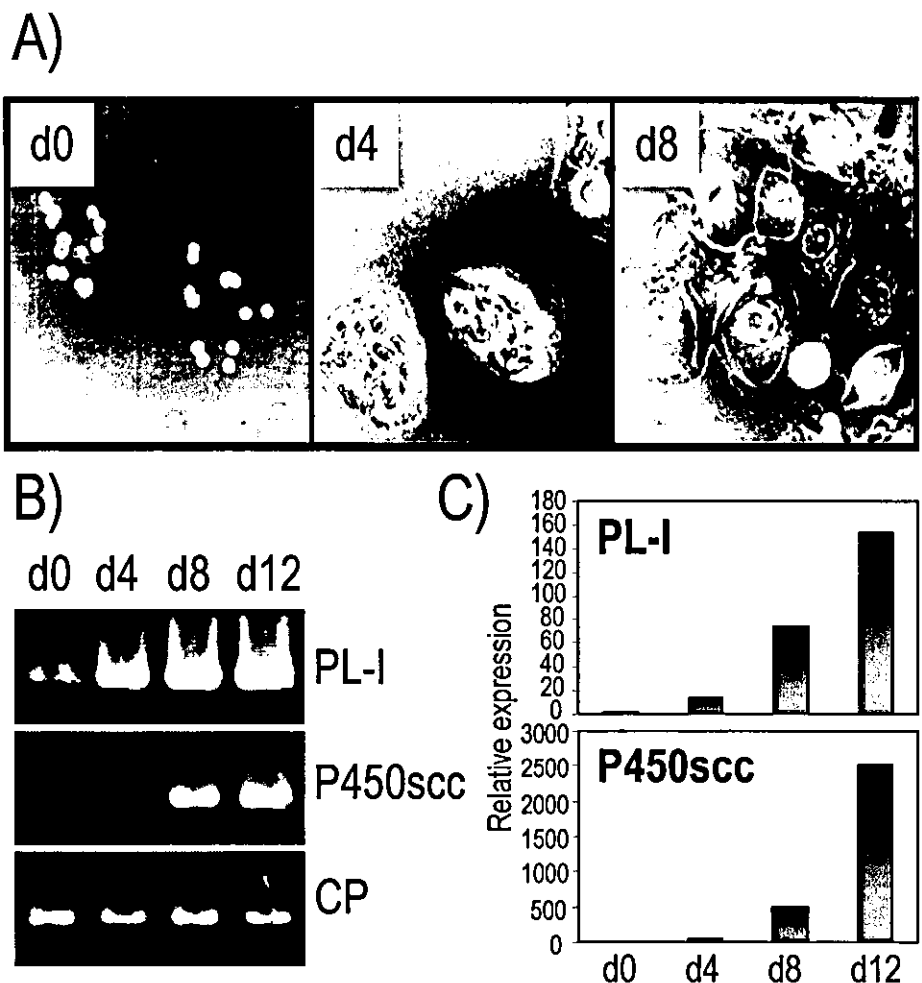


図-2

Rcho-1細胞の分化誘導。A)Rcho-1細胞は、細胞を密に培養することによって未分化細胞(d0)から巨核を有する分化細胞(d8)に誘導される。B)PL-IとP450sccは、Rcho-1細胞の分化とともに発現量が上昇する分化マーカーである。RT-PCR法により、d0からd12にかけて、それぞれの遺伝子の発現変化を調べた。C)PL-IおよびP450sccの発現変化をリアルタイムPCR(Light cycler)により調べた。

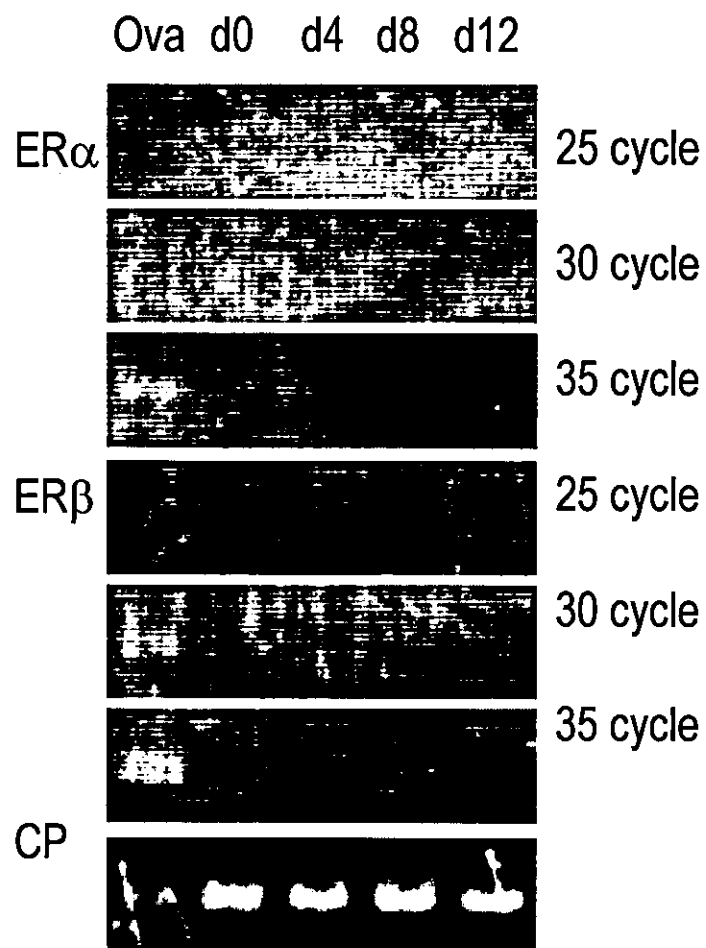


図-3

Rcho-1細胞にはER mRNAが発現していない。ER α およびER β のmRNA発現をRT-PCR法により調べた。ポジティブコントロールとして、ラットの卵巣(Ova)を用いた。ER α およびER β のmRNA発現は、Ovaにおいて認められるが、d0からd12までのRcho-1細胞には発現は認められない。

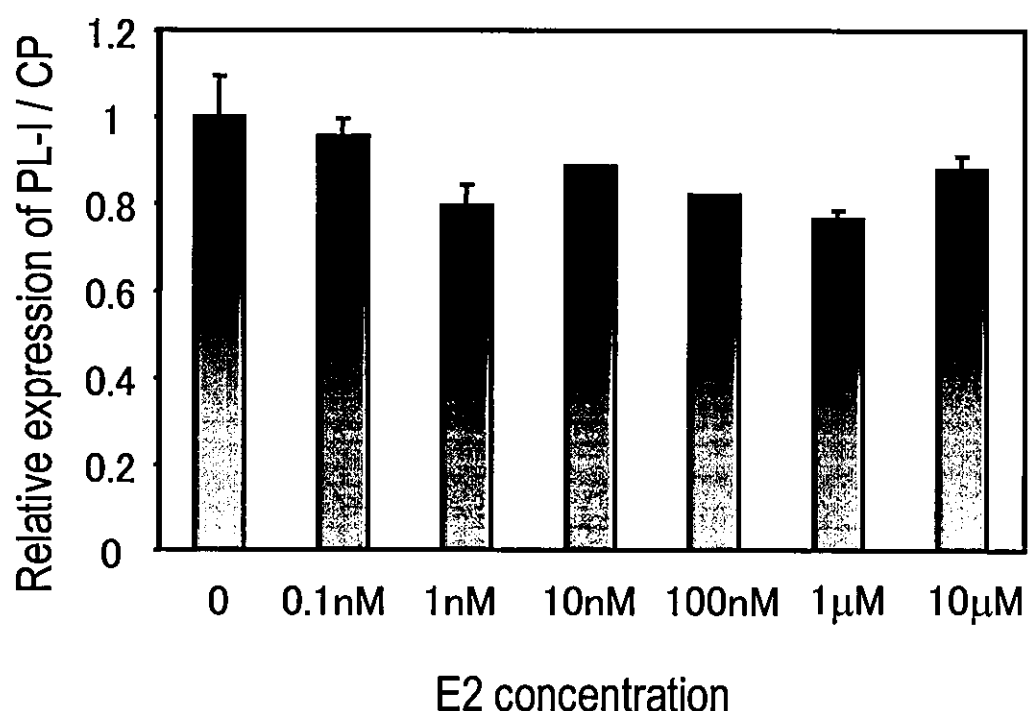


図-4
Rcho-1細胞はE2に対して分化の影響をうけない。未分化Rcho-1細胞に0.1 nMから10 mMまでのE2を6日間曝露し、分化に対する影響をPL-I mRNAを指標にRT-PCR法により調べた。PL-I mRNAの発現量はサイクロフィリン(CP)のmRNA量で補正した。

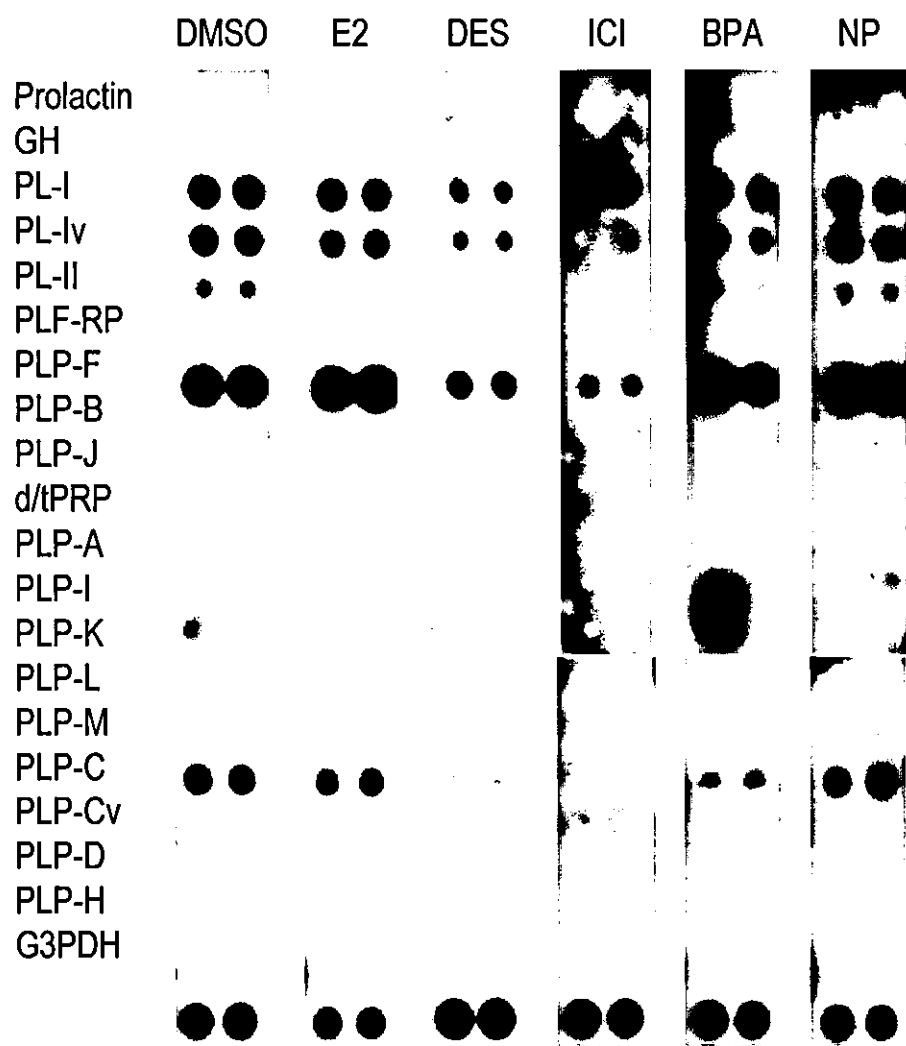


図-5

Rcho-1細胞にE2様の活性を持つとされる化合物を曝露し、プロラクチンファミリー遺伝子の発現変化をミニアレイ法により調べた。Rcho-1細胞にそれぞれの化合物を4日間曝露し、RNAを回収した。それぞれ5 ?gのRNAを32p dCTPの存在下で逆転写反応させ、プローブを作成し、ハイブリダイゼーションに供した。感光は24h行なつた。

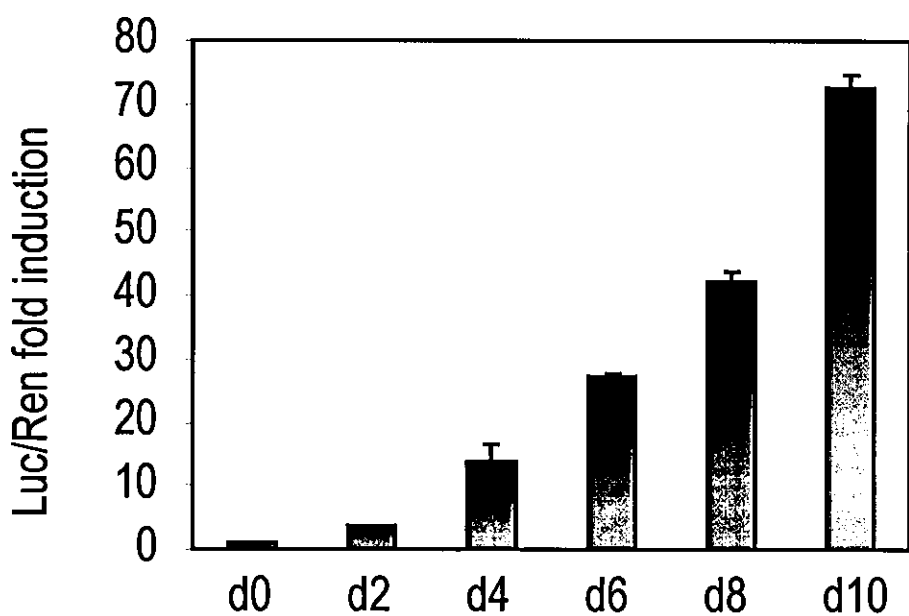


図-6
 P450sccプロモーターを用いたリポータージーンは、Rcho-1細胞の分化を測定するのに有効である。Rcho-1細胞のd0にpGL3-P450sccとpRLをトランスフェクトした。d0、d2、d4、d6、d8、d10で細胞を回収し、ルシフェラーゼ活性を測定し、レニラの値で補正を行なった。エラーバーは独立に行なわれた3検体のSE値を示す。

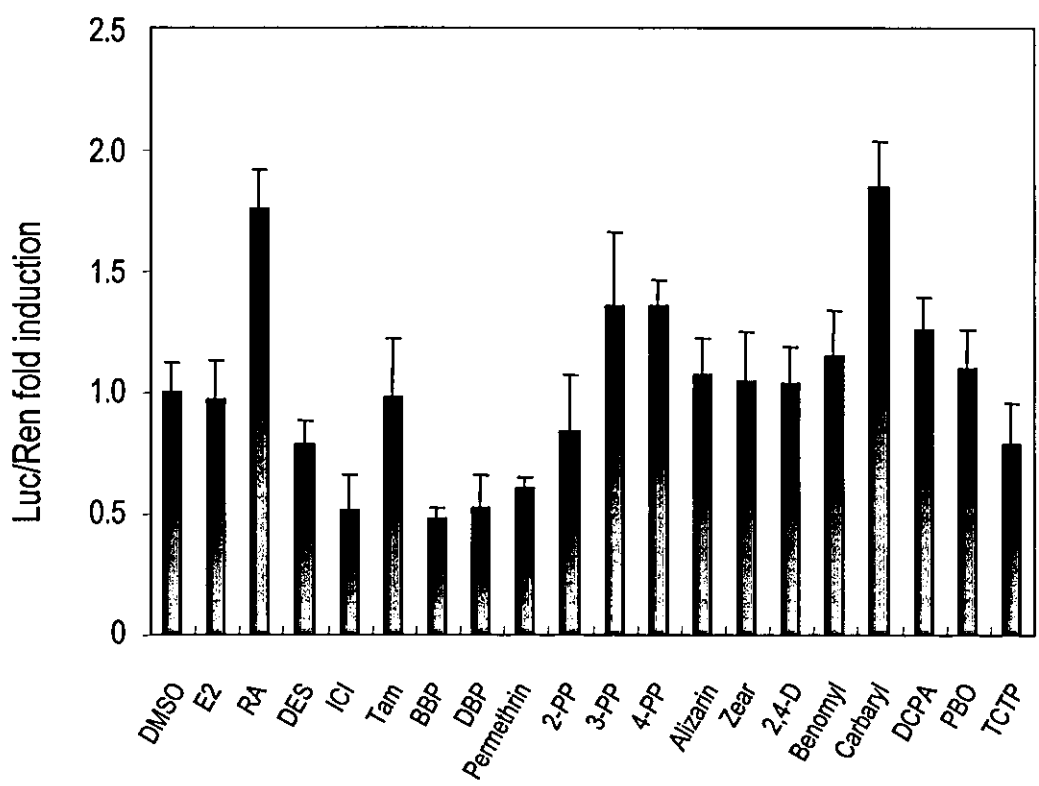


図-7
 P450sccプロモーターのリポータージーンアッセイを用い様々な化合物のRcho-1細胞の分化に対する影響を調べた。Rcho-1細胞のd0にpGL3-P450sccとpRLをトランスフェクトし、各化合物を曝露させ、d6にサンプルを回収した。ルシフェラーゼ活性を測定し、レニラの値で補正を行なった。エラーバーは独立に行なわれた3検体のSE値を示す。

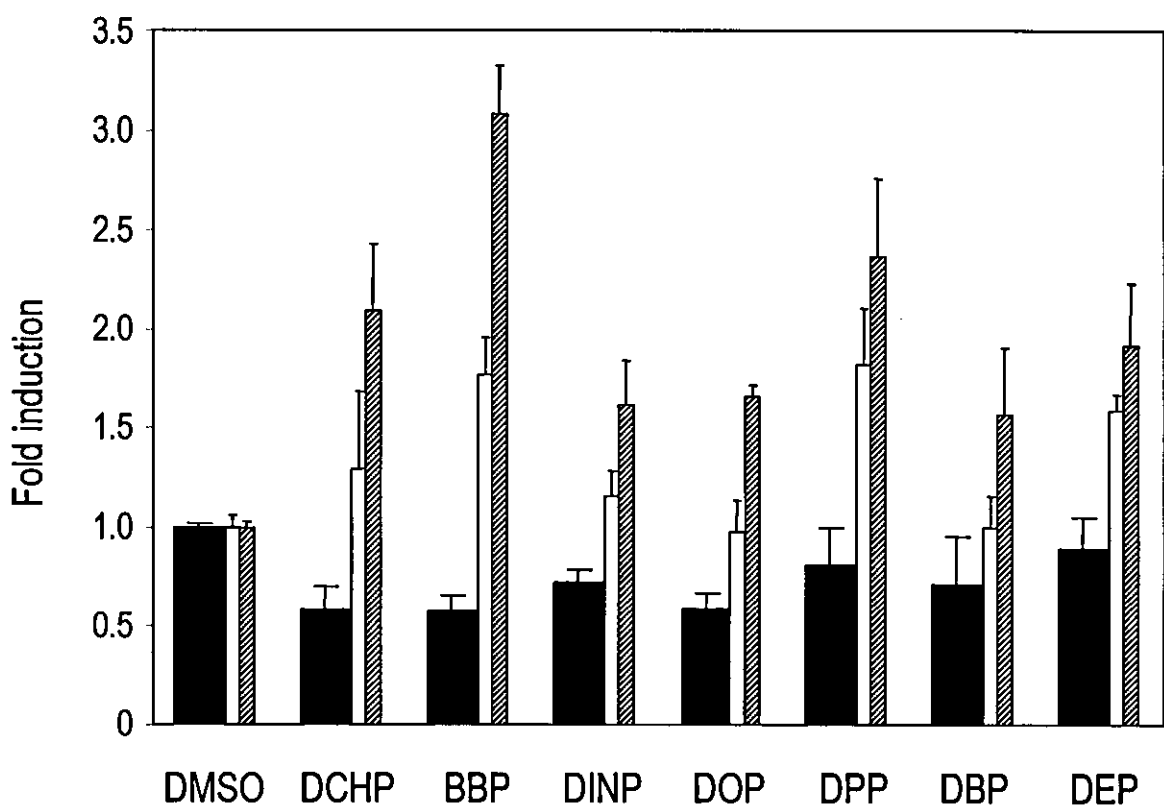


図-8
フタル酸類の影響をP450sccプロモーターを用いたリポータージーン
アッセイで検討した。Rcho-1細胞のd0にpGL3-P450sccとpRLをト
ランスフェクトし、d6にサンプルを回収した。黒バーはルシフェラーゼ
活性値/レニラ活性値を、白バーはルシフェラーゼ活性値を、斜線
バーはレニラ活性値をあらわす。エラーバーは独立に行なわれた3検
体のSE値を示す。

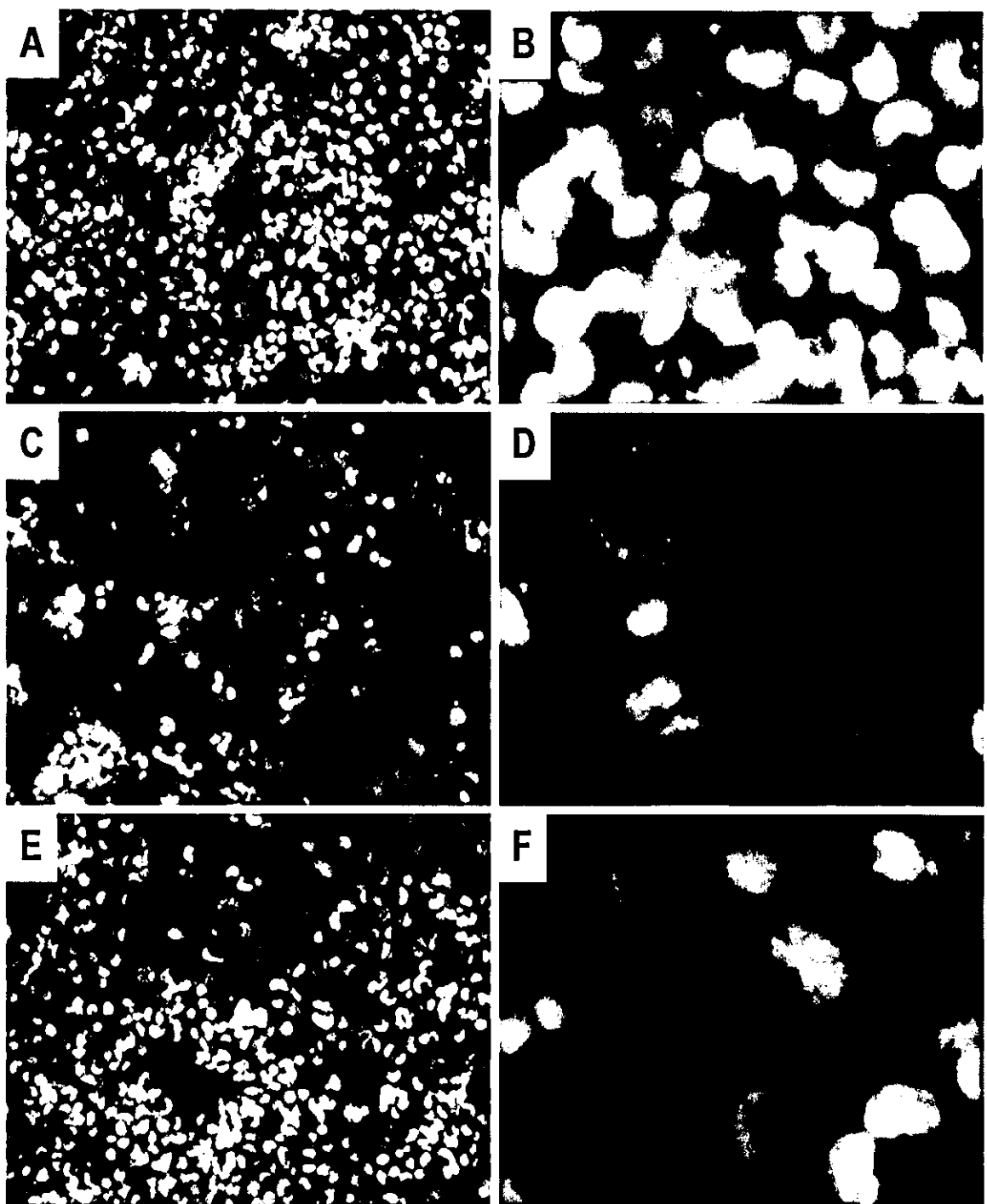


図-9
DMSO(A, B)、RA(C, D)、およびICI(E, F)をRcho-1細胞に曝露し、分化に与える影響を核染色により検討した。d0からd6まで曝露し、d6に 10^{-7} mol/LのHoechst33342を含んだ培地で1hインキュベートし、核の蛍光観察をおこなった。倍率 100x (A, C, E)、400x(B, D, F)

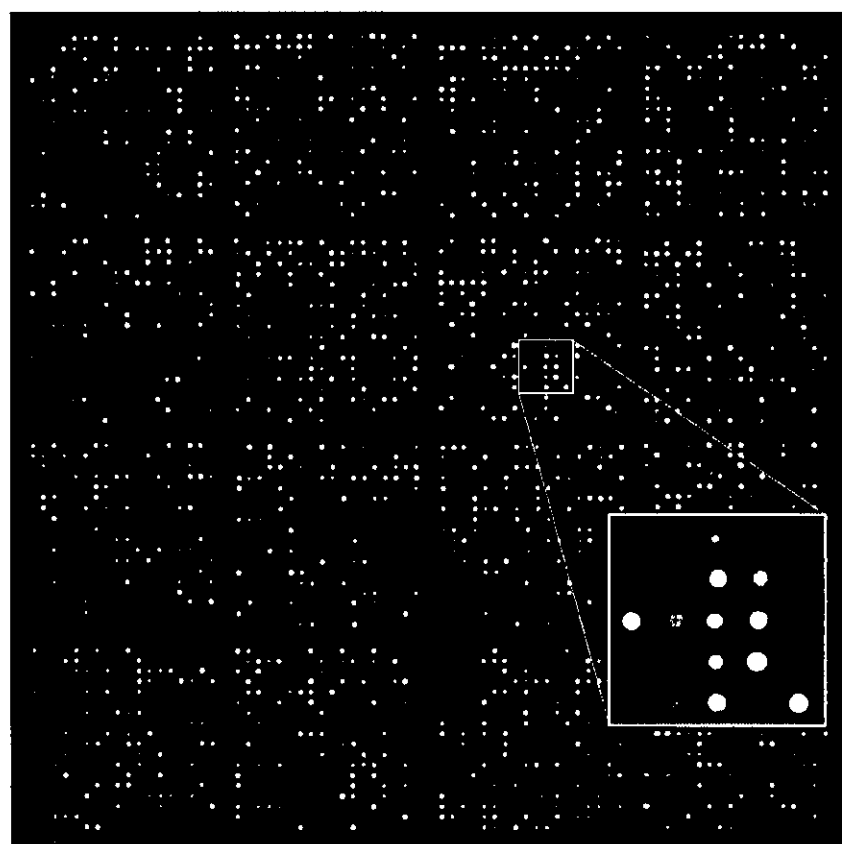


図-10

アレイチップ画像。対照群のRNAはCy5(赤色)で、化合物曝露群のRNAはCy3(緑色)で標識を行った。ここでは、RAの例を示す。また一部のエリアを拡大した。スポットの色が、赤、黄色、緑で標識されており、それぞれ遺伝子の発現が、減少、無変化、増加していることがわかる。

Spot location	A	B	C	D	E	Gene name
1- 5- 1	■	■	■	■	■	Actin, gamma 2, smooth muscle, enteric
1- 9- 4	■	■	■	■	■	Rattus norvegicus C4 complement protein mRNA,
2- 3- 4	■	■	■	■	■	Rattus norvegicus DAD-1 gene
3-17- 1	●	●	●	●	●	Catalase
5- 5- 1	■	■	■	■	■	Rat mRNA for CRP2 (cysteine-rich protein 2), complete cds
5-14- 5	■	■	■	■	■	Rat low molecular weight fatty acid binding protein mRNA, complete cds
5-17- 6	●	●	●	●	●	Rat mRNA for 140-kD NCAM polypeptide
6-10- 6	■	■	■	■	■	ATPase, Na+K+ transporting, alpha 1 polypeptide
6-14- 5	●	●	■	■	■	Rattus norvegicus purine specific Na ⁺ nucleoside cotransporter (SPNT) mRNA, complete cds
7- 5- 4	■	●	●	■	■	R.norvegicus mRNA for C-CAM2a isoform
7-13- 4	■	●	●	■	■	Dynamin 2
8-10- 4	■	■	■	■	■	Peroxisomal membrane protein 1
8-11- 1	●	●	●	●	●	Rattus norvegicus vascular endothelial growth factor mRNA, partial cds
8-15- 2	■	■	■	■	■	Rat testis-specific farnesyl pyrophosphate synthetase mRNA, complete cds
9- 1- 2	■	■	■	■	■	Rat alpha-tropomyosin 2 mRNA, complete cds
10-10- 5	■	■	■	■	■	Rattus norvegicus frizzled related protein frpAP mRNA, complete cds
10-17- 2	■	■	■	●	■	R.norvegicus 3.2.3 antigen protein mRNA, complete cds
13- 6- 5	■	●	■	■	■	Rat nucleoside diphosphate kinase mRNA, complete cds
14- 1- 3	■	■	■	■	■	O-linked N-acetylglucosamine (GlcNAc) transferase
14- 1- 5	■	●	●	●	●	Phospholipase C (BETA4)
16- 2- 1	■	■	■	■	■	Rat thymosin beta-4 mRNA, complete cds
16- 4- 4	■	■	■	■	■	Annexin 1 (p35) (Lipocortin 1)

A: RA, B: DES, C: ICI, D: Carbaryl, E: Permethrin

図-11

各種化合物の曝露により発現変化のあった代表的な遺伝子およびアレイチップ画像。スポットの色が赤は遺伝子の発現が増加していること、緑色は減少していること、黄色は変化がないことを意味している。

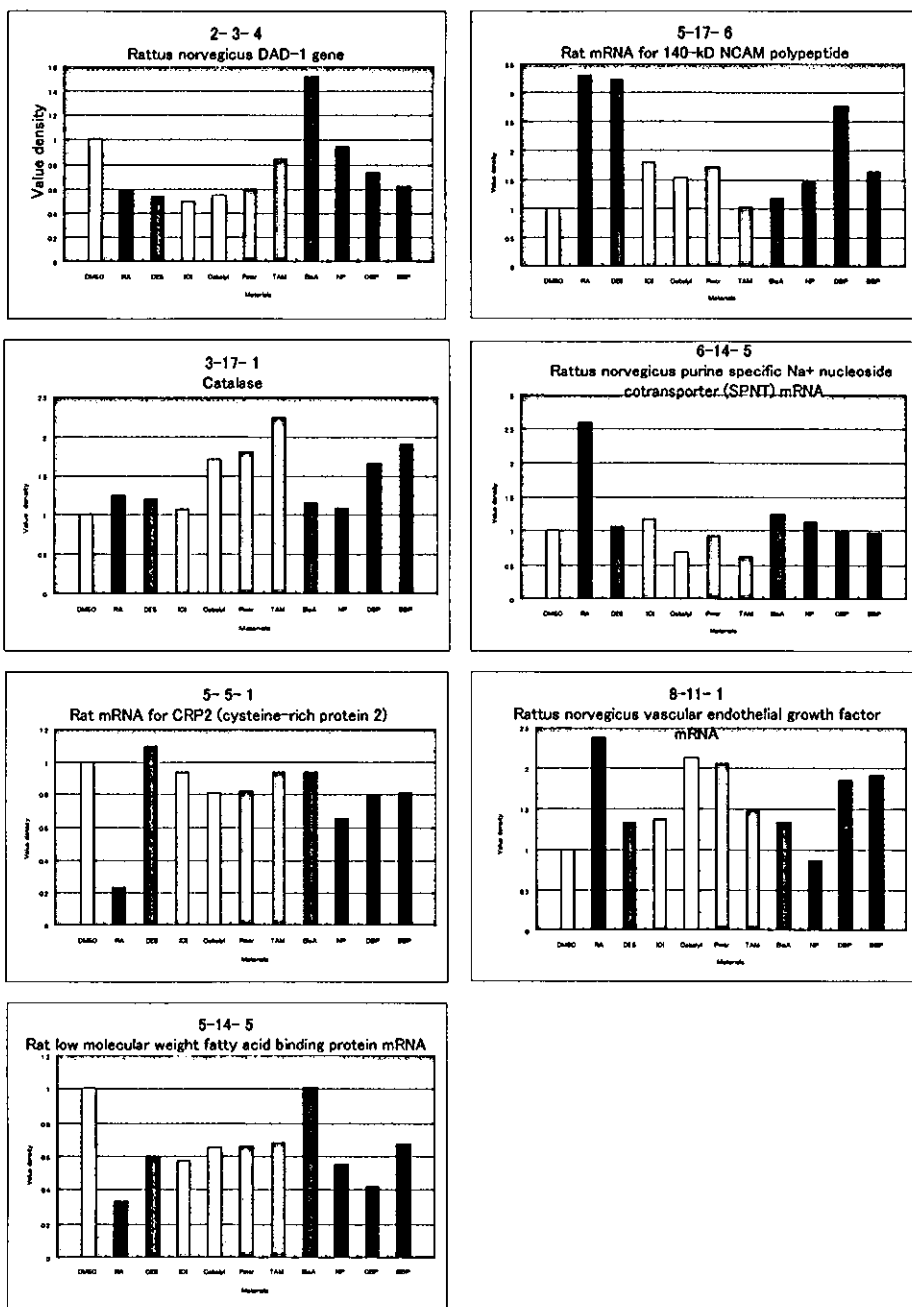


図-12

各種化合物(RA, DES, ICI, Carbaryl, Permethrin, TAM, BisA, NP, DBP, BBP)の曝露により発現変化のあった代表的な遺伝子について、半定量RT-PCR解析を行った。Rcho-1細胞の分化開始時から化合物を6日間曝露し、mRNAを回収した。アガロース電気泳動後、画像を取り込みデシントメーターでバンドの相対濃度を測定しグラフ化した。

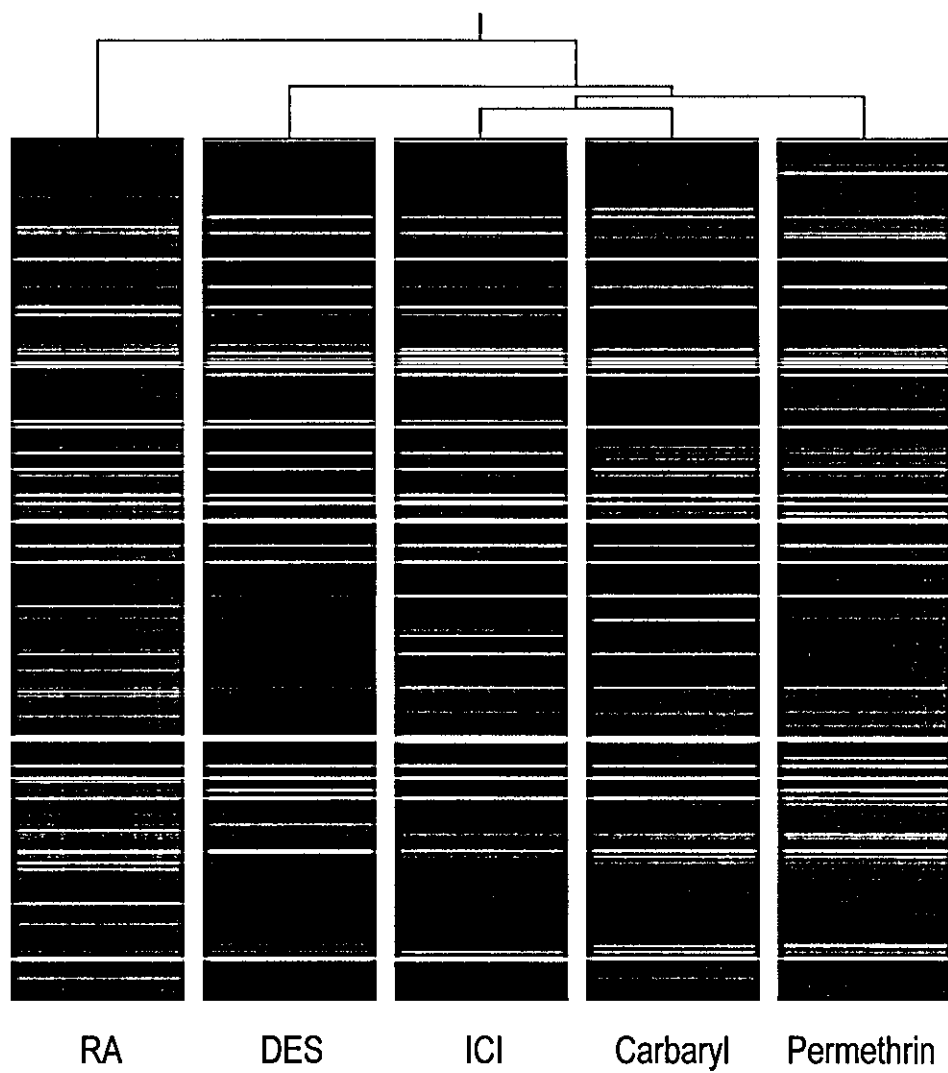


図-14

各種化合物に曝露した検体のDNAチップ解析のクラスタリング解析。ICIとCarbarylが最も類似した遺伝子発現変化のパターンを示し、次にPermethrin、そしてDESの順に類似性を示した。

DMSO

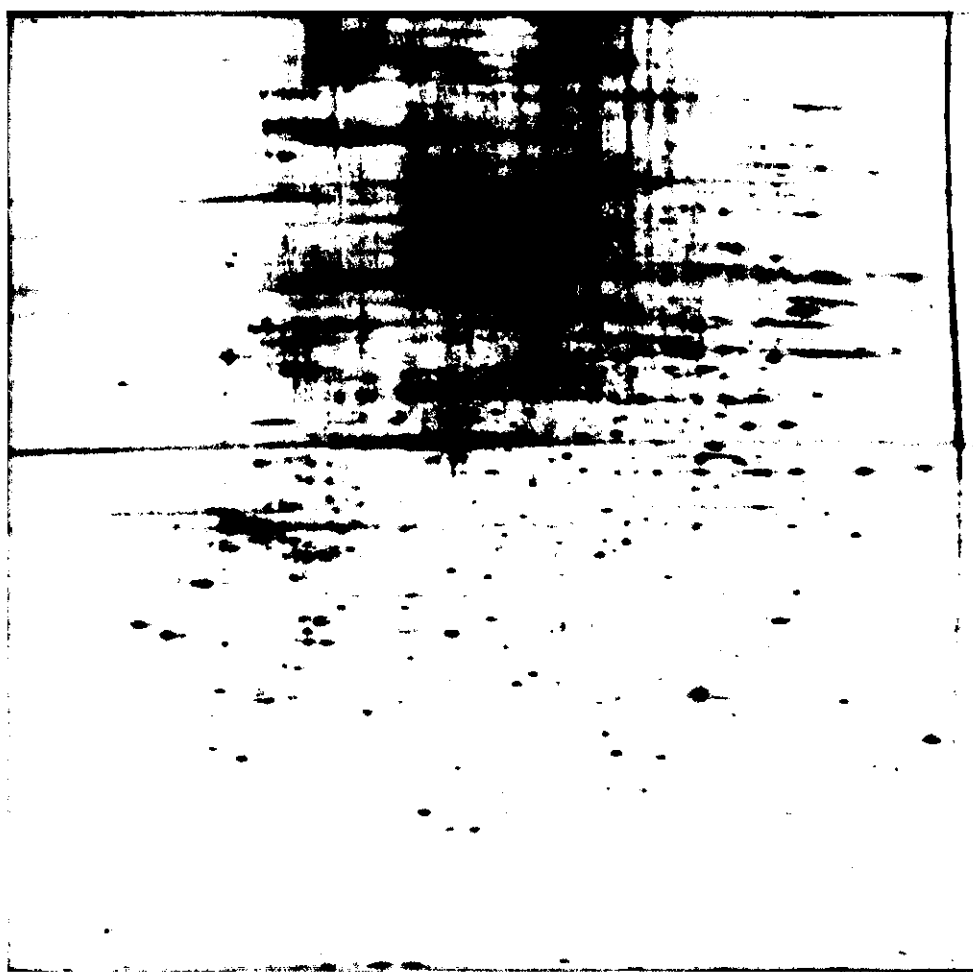


図-15

Rcho-1 細胞核抽出液の2次元電気泳動像(DMSO処理:対照群)。Rcho-1細胞をDMSOを含む培養液で培養し、その核抽出液を展開、銀染色した。

Retinoic acid

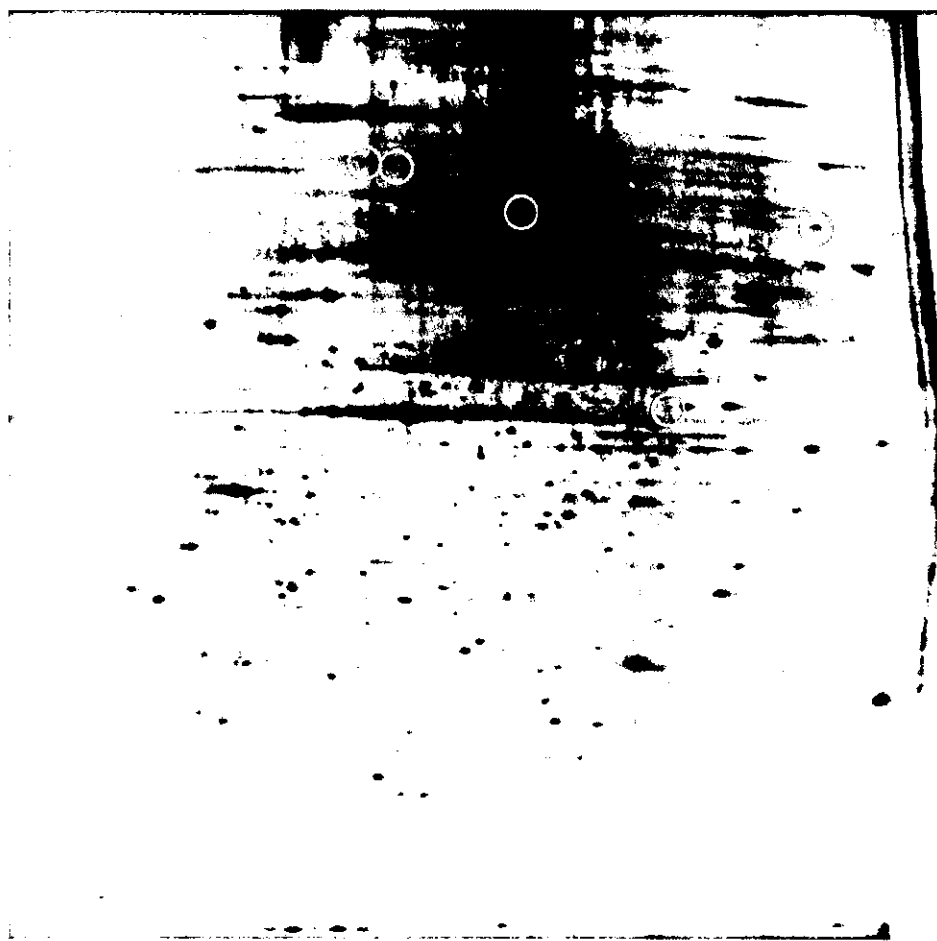


図-16

Rcho-1 細胞核抽出液の2次元電気泳動像(RA処理)。Rcho-1細胞を
Retinoic acidを含む培養液で培養し、その核抽出液を展開、銀染色した。赤
○は対照群に比べて有意にコンテンツの上昇したスポットを示す。